

Профессор Ермаченко В.М. и профессор Евсеев И.В.

#### Лекция 14.

Электромагнитные волны в прозрачных анизотропных средах. Обыкновенная и необыкновенная волны.

Рассмотрим теперь электромагнитные волны в прозрачных анизотропных диэлектриках. Как и в предыдущей лекции, рассматриваем электромагнитные поля, напряжённость которых зависит от координат и от времени по гармоническому закону, например,

$$\mathbf{E}(\mathbf{r}, t) = E_0 \exp(i\mathbf{k}\mathbf{r} - i\omega t). \quad (14.1)$$

Как и прежде, ограничимся рассмотрением однородных веществ, магнитными свойствами которых можно пренебречь:  $\mu = 1$ . В анизотропной среде вместо уравнения связи (13.3) имеем

$$D_i = \varepsilon_{ik}(\omega) E_k, \quad (14.2)$$

где в общем случае симметричный тензор диэлектрической проницаемости  $\varepsilon_{ik}(\omega)$  комплексный. Можно показать, что условие прозрачности вещества

$$\operatorname{div} \bar{\mathbf{S}} = 0 \quad (14.3)$$

сводится к требованию вещественности тензора диэлектрической проницаемости. Поэтому в дальнейшем тензор  $\varepsilon_{ik}(\omega)$  считается вещественным. В случае анизотропной среды уравнения (13.6) и (13.7) сохраняют свой вид

$$[\mathbf{k}, \mathbf{E}] = \frac{\omega}{c} \mathbf{H}, \quad (14.4)$$

$$(\mathbf{k}, \mathbf{H}) = 0. \quad (14.5)$$

Однако теперь вместо уравнений (13.4) и (13.5) из (12.12) и (12.13) получаем

$$\mathbf{D} = -\frac{c}{\omega} [\mathbf{k}, \mathbf{H}], \quad (14.6)$$

$$(\mathbf{k}, \mathbf{D}) = 0. \quad (14.7)$$

Из уравнений (14.6) и (14.7) следует, что векторы  $\mathbf{k}$ ,  $\mathbf{D}$ , и  $\mathbf{H}$  образуют тройку взаимно ортогональных векторов. Обратим внимание, что в анизотропной среде при наличии связи (14.2) направления векторов  $\mathbf{D}$  и  $\mathbf{E}$  в общем случае не совпадают, и, следовательно, векторы  $\mathbf{k}$  и  $\mathbf{E}$  не взаимно ортогональны. Поэтому направление вектора Пойнтинга

$$\mathbf{S} = \frac{c}{4\pi} [\mathbf{E}, \mathbf{H}], \quad (14.8)$$

ортогонального плоскости, в которой лежат векторы  $\mathbf{E}$  и  $\mathbf{H}$ , не совпадает с направлением волнового вектора  $\mathbf{k}$ . Отметим, что угол между векторами  $\mathbf{k}$  и  $\mathbf{S}$  равен углу между векторами  $\mathbf{D}$  и  $\mathbf{E}$  (рис. 6).

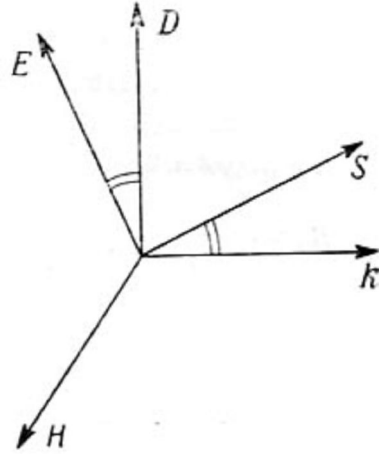


Рис. 6 Взаимное расположение векторов  $\mathbf{H}$ ,  $\mathbf{E}$ ,  $\mathbf{D}$ ,  $\mathbf{k}$  и  $\mathbf{S}$  при распространении плоских электромагнитных волн в анизотропной среде.

Для установления связи между частотой и волновым вектором введём вместо  $\mathbf{k}$  вектор  $\mathbf{n}$  следующим соотношением

$$\mathbf{k} = \frac{\omega}{c} \mathbf{n}. \quad (14.9)$$

Как видно из (14.9), направление  $\mathbf{n}$  совпадает с направлением  $\mathbf{k}$ , а его модуль равен показателю преломления среды. В отличие от случая прозрачной изотропной среды, в которой  $n = \sqrt{\varepsilon(\omega)}$

(см. (13.18) для случая прозрачной среды), в анизотропной прозрачной среде в данном направлении могут распространяться две плоские волны с одинаковой частотой, но разными, в общем случае, показателями преломления. Чтобы показать это, обратимся к уравнениям (14.4) и (14.6). Подставляя полученное из (14.4) выражение

$$\mathbf{H} = \frac{c}{\omega} [\mathbf{k}, \mathbf{E}] \quad (14.10)$$

в (14.6), получаем векторное уравнение

$$\mathbf{D} = n^2 \mathbf{E} - \mathbf{n}(\mathbf{n}, \mathbf{E}). \quad (14.11)$$

Используя уравнение связи (14.2), приходим к системе трех однородных линейных алгебраических уравнений для определения компонент вектора  $\mathbf{E}$

$$(n^2 \delta_{ik} - n_i n_k - \varepsilon_{ik}) E_k = 0. \quad (14.12)$$

Как известно, система однородных линейных алгебраических уравнений имеет нетривиальное решение, если

$$\det | n^2 \delta_{ik} - n_i n_k - \varepsilon_{ik} | = 0. \quad (14.13)$$

Уравнение (14.13) устанавливает связь частоты с волновым вектором и в кристаллооптике называется уравнением Френеля. Оно определяет модуль вектора  $\mathbf{n}$  при его заданном направлении по отношению к фиксированным осям координат, например, главным осям тензора диэлектрической проницаемости. Это алгебраическое уравнение относительно  $n^2$ , старшие члены которого есть  $n^4$  (члены  $n^6$  сокращаются). Следовательно, в общем случае есть два решения, отвечающие двум независимым поляризациям электромагнитной волны. Так как модуль  $n$  играет роль показателя преломления среды, то в кристалле в данном направлении могут распространяться два типа волн, каждому из которых соответствуют свой показатель преломления среды и своя поляризация. Отметим, что в общем случае показатель преломления зависит от направления распространения волны.

Рассмотрим для примера случай одноосного кристалла. Напомним, что в главных осях тензор диэлектрической проницаемости диагонален, и для одноосного кристалла имеются следующие соотношения между его главными значениями

$$\varepsilon_{xx} = \varepsilon_{yy} = \varepsilon_{\perp}, \quad \varepsilon_{zz} = \varepsilon_{\parallel}. \quad (14.14)$$

При написании соотношений (14.14) ось  $z$  выбрана по физически выделенному направлению одноосного кристалла – его оптической оси. Из уравнения (14.13), записанного в главных осях тензора диэлектрической проницаемости, для одноосного кристалла получаем следующее уравнение

$$(n^2 - \varepsilon_{\perp})[\varepsilon_{\parallel} n_z^2 + \varepsilon_{\perp}(n_x^2 + n_y^2) - \varepsilon_{\perp} \varepsilon_{\parallel}] = 0. \quad (14.15)$$

Отсюда непосредственно видно, что в одноосном кристалле могут распространяться два типа волн. Для одного из них показатель преломления не зависит от направления распространения волны и равен

$$n_0 = \sqrt{\varepsilon_{\perp}}. \quad (14.16)$$

Такие волны называются обыкновенными. Для волн второго типа показатель преломления зависит от направления распространения волны. Вводя угол  $\theta$  между оптической осью кристалла и направлением распространения волны, из (14.15) получаем, приравнивая нулю выражение в квадратных скобках,

$$n_e = \frac{1}{\sqrt{\frac{\cos^2 \theta}{\varepsilon_{\perp}} + \frac{\sin^2 \theta}{\varepsilon_{\parallel}}}}. \quad (14.17)$$

Такие волны называются необыкновенными. Отметим, что при распространении волн вдоль оптической оси ( $\theta = 0$ ) показатели преломления для обоих типов волн одинаковы.

Поляризации обыкновенной и необыкновенной волн линейны и взаимно ортогональны. Покажем это для случая, когда волны распространяются в направлении ортогональном оптической оси, например, вдоль оси  $x$ . В этом случае  $n_y = n_z = 0$ ,  $n_x = n$ , а  $n_e = \sqrt{\varepsilon_{\parallel}}$ . Обратимся к системе уравнений (14.12) для отыскания отличных от нуля компонент вектора  $\mathbf{E}$ , определяющих поляризацию волны. Запишем эти три уравнения сначала для обыкновенной волны. Они выглядят следующим образом:

$$-\varepsilon_{\perp} E_x = 0, \quad (\varepsilon_{\perp} - \varepsilon_{\parallel}) E_z = 0, \quad (\varepsilon_{\perp} - \varepsilon_{\perp}) E_y = 0. \quad (14.18)$$

Из (14.18) следует, что  $E_x = E_z = 0$ , а  $E_y \neq 0$ , т.е. обыкновенная волна линейно поляризована вдоль оси  $y$ . Для случая необыкновенной волны уравнения (14.12) имеют вид:

$$-\varepsilon_{\perp} E_x = 0, \quad (\varepsilon_{\parallel} - \varepsilon_{\parallel}) E_z = 0, \quad (\varepsilon_{\parallel} - \varepsilon_{\perp}) E_y = 0. \quad (14.19)$$

Из (14.19) следует, что  $E_x = E_y = 0$ , а  $E_z \neq 0$ , т.е. необыкновенная волна линейно поляризована вдоль оптической оси.

Наряду с одноосными кристаллами в кристаллооптике широко используются двухосные кристаллы, у которых все три главных значения тензора диэлектрической проницаемости отличны друг от друга

$$\varepsilon_{xx} \neq \varepsilon_{yy} \neq \varepsilon_{zz} \neq \varepsilon_{xx}. \quad (14.20)$$

По отношению к главным осям тензора диэлектрической проницаемости направление распространения электромагнитной волны задаётся двумя углами  $\theta$  и  $\varphi$  так, что

$$n_x = n \sin \theta \cos \varphi, \quad n_y = n \sin \theta \sin \varphi, \quad n_z = n \cos \theta. \quad (14.21)$$

Уравнение Френеля (14.13) для определения величины показателя преломления  $n$  в этом случае имеет следующий вид

$$A_1(n^2)^2 - A_2 n^2 + A_3 = 0, \quad (14.22)$$

где коэффициенты  $A_1$ ,  $A_2$  и  $A_3$  равны

$$A_1 = \varepsilon_{zz} \cos^2 \theta + (\varepsilon_{xx} \cos^2 \varphi + \varepsilon_{yy} \sin^2 \varphi) \sin^2 \theta, \quad (14.23)$$

$$A_2 = \varepsilon_{xx} \varepsilon_{yy} \sin^2 \theta + \varepsilon_{xx} \varepsilon_{zz} (1 - \sin^2 \theta \sin^2 \varphi) + \varepsilon_{yy} \varepsilon_{zz} (1 - \sin^2 \theta \cos^2 \varphi), \quad (14.24)$$

$$A_3 = \varepsilon_{xx} \varepsilon_{yy} \varepsilon_{zz}. \quad (14.25)$$

Два значения показателя преломления, являющиеся решением уравнения (14.22), можно записать в виде

$$n_{1,2}^2 = \frac{A_2}{2A_1} \left( 1 \pm \sqrt{1 - \frac{4A_1 A_3}{A_2^2}} \right). \quad (14.26)$$

Решения (14.26) включают в себя как частный случай результаты (14.16), (14.17), полученные для одноосного кристалла. Для одноосного кристалла коэффициенты  $A_1$ ,  $A_2$  и  $A_3$  с учётом (14.14) имеют вид

$$A_1 = \varepsilon_{\parallel} \cos^2 \theta + \varepsilon_{\perp} \sin^2 \theta, \quad (14.27)$$

$$A_2 = \varepsilon_{\perp}^2 \sin^2 \theta + \varepsilon_{\perp} \varepsilon_{\parallel} (1 + \cos^2 \theta), \quad (14.28)$$

$$A_3 = \varepsilon_{\perp}^2 \varepsilon_{\parallel}. \quad (14.29)$$

Подставляя эти коэффициенты в (14.26), видим, что решение со знаком плюс в скобках приводит к результату (14.16), соответствующему показателю преломления обыкновенной волны, а решение со знаком минус в скобках приводит к результату (14.17), соответствующему показателю преломления необыкновенной волны.

Для случая двухосного кристалла, когда волна распространяется в плоскости ортогональной главной оси  $z$ , т.е.  $\theta = \pi/2$ , решения (14.26) приводят к следующему результату

$$n_1 = \frac{1}{\sqrt{\frac{\cos^2 \varphi}{\varepsilon_{yy}} + \frac{\sin^2 \varphi}{\varepsilon_{xx}}}}, \quad (14.30)$$

$$n_2 = \sqrt{\varepsilon_{zz}}. \quad (14.31)$$

Эти результаты аналогичны (14.17) и (14.16), соответственно.